

间  $t$ , 而只是空间变量  $x$  的函数:  $u=u(x)$ , 因此  $\frac{\partial u}{\partial t}=0$ . 这样, 式(1)–(6)可改写为:

$$\frac{\partial}{\partial x} \left( k \frac{\partial u}{\partial x} \right) = 0, \quad t > 0, \quad x \in (l_{j-1}, l_j) (j=1, 2, 3, 4), \quad (16)$$

$$x=l_0: -k_1 \frac{\partial u}{\partial x} + k_e u = k_e u_e, \quad (17)$$

$$x=l_4: k_4 \frac{\partial u}{\partial x} + k_s u = k_s u_s, \quad (18)$$

$$x=l_j: \begin{cases} u^- = u^+, \\ \left( k_j \frac{\partial u}{\partial x} \right)^- = \left( k_{j+1} \frac{\partial u}{\partial x} \right)^+, \end{cases} \quad j=1, 2, 3. \quad (19)$$

$$\quad (20)$$

显然, 由方程(16), 对每个区间  $(l_{j-1}, l_j) (j=1, 2, 3, 4)$ ,  $u(x)$  都是  $x$  的线性函数

$$u(x) = a_j x + b_j, \quad x \in (l_{j-1}, l_j) (j=1, 2, 3, 4). \quad (21)$$

由交界面条件(19)和(20), 有

$$\begin{aligned} a_j l_j + b_j &= a_{j+1} l_j + b_{j+1}, \\ k_j a_j &= k_{j+1} a_{j+1}, \end{aligned} \quad j=1, 2, 3,$$

由此得到

$$a_2 = \frac{k_1}{k_2} a_1, \quad (22)$$

$$a_3 = \frac{k_1}{k_3} a_1, \quad (23)$$

$$a_4 = \frac{k_1}{k_4} a_1 \quad (24)$$

及

$$b_2 = a_1 l_1 + b_1 - a_2 l_1, \quad (25)$$

$$b_3 = a_2 l_2 + b_2 - a_3 l_2, \quad (26)$$

$$b_4 = a_3 l_3 + b_3 - a_4 l_3. \quad (27)$$

将式(25)–(27)相加, 可得

$$b_4 = a_1 l_1 + a_2 l_2 + a_3 l_3 - a_2 l_1 - a_3 l_2 - a_4 l_3 + b_1. \quad (28)$$

由边界条件(17)和(18), 有

$$\begin{aligned} -k_1 a_1 + k_e (a_1 l_0 + b_1) &= k_e u_e, \\ k_4 a_4 + k_s (a_4 l_4 + b_4) &= k_s u_s, \end{aligned}$$

由此得到

$$b_1 = u_e - \left( l_0 - \frac{k_1}{k_e} \right) a_1 \quad (29)$$

及

$$(k_4 + k_s l_4) a_4 + k_s b_4 = k_s u_s. \quad (30)$$

将式(22)–(24)及式(28)–(29)代入式(30), 得到关于  $a_1$  的方程

$$\left( \frac{1}{k_s} + \frac{1}{k_e} + \sum_{j=1}^4 \frac{1}{k_j} (l_j - l_{j-1}) \right) a_1 = \frac{1}{k_1} (u_s - u_e),$$

由此解得

$$a_1 = \frac{\frac{1}{k_1} (u_s - u_e)}{\frac{1}{k_s} + \frac{1}{k_e} + \sum_{j=1}^4 \frac{1}{k_j} (l_j - l_{j-1})}.$$

最后由式(22)–(24)及式(29), (25)–(27)求得  $a_j (j=2, 3, 4)$  和  $b_j (j=1, 2, 3, 4)$ .

利用稳态模型精确解的公式,可以验证隐式差分格式的计算结果.图4显示了用稳态模型(16)–(20)计算的热防护服系统各点处的温度与用非稳态模型(1)–(6)计算的热防护服系统各点处在终止时刻的温度的绝对误差,其中, $k_e = 120.0 \text{ W}/(\text{m}^2 \cdot ^\circ\text{C})$ , $k_s = 8.36 \text{ W}/(\text{m}^2 \cdot ^\circ\text{C})$ ,其他参数见问题1.可以看到,最大误差为 $8.9548 \times 10^{-10}$ ,几乎没有误差.

## 5 热交换系数的确定

第I层与高温环境之间的热交换系数 $k_e$ 和皮肤与第IV层之间的热交换系数 $k_s$ 是未知的,需要利用测量得到的假人皮肤外侧的温度来确定.记测量得到的温度为 $u_M^*$ ,表示 $t=t^n$ 时测量得到的假人皮肤外侧的温度,那么确定热交换系数 $k_e$ 和 $k_s$ 的数学模型可以归结为如下的优化问题:

$$\min E(k_e, k_s) = \frac{1}{2} \sum_{n=1}^N (u_M^n - u_M^*)^2,$$

其中: $u_M^n$ 表示 $t=t^n$ 时假人皮肤外侧的计算温度;而 $M(=M_1)$ 表示差分格式中的剖分总数,其所在的位置恰好是在假人皮肤外侧处.

由式(21)可以得到皮肤外侧稳态时的温度为

$$u(l_4) = \frac{\frac{1}{k_s}}{\frac{1}{k_s} + \frac{1}{k_e} + \sum_{j=1}^4 \frac{l_j - l_{j-1}}{k_j}} u_e + \frac{\frac{1}{k_e} + \sum_{j=1}^4 \frac{l_j - l_{j-1}}{k_j}}{\frac{1}{k_s} + \frac{1}{k_e} + \sum_{j=1}^4 \frac{l_j - l_{j-1}}{k_j}} u_s. \quad (31)$$

记 $u_M = u(l_4)$ ,由式(31)可得

$$\left( \frac{1}{k_s} + \frac{1}{k_e} + \sum_{j=1}^4 \frac{l_j - l_{j-1}}{k_j} \right) u_M = \frac{1}{k_s} u_e + \left( \frac{1}{k_e} + \sum_{j=1}^4 \frac{l_j - l_{j-1}}{k_j} \right) u_s,$$

即

$$\frac{1}{k_s} = \frac{u_M - u_s}{u_e - u_M} \left( \frac{1}{k_e} + \sum_{j=1}^4 \frac{l_j - l_{j-1}}{k_j} \right).$$

这就得到了 $k_s$ 和 $k_e$ 的关系,从而热交换系数的确定问题就转化为单参数的辨识问题:

$$\min E(k_e) = \frac{1}{2} \sum_{n=1}^N (u_M^n - u_M^*)^2.$$

## 6 第II层厚度的最优设计

记 $u(t, x)$ 为式(1)–(6)的解,则 $t$ 时刻皮肤外侧的温度为 $u(t, l_4)$ .

记 $T(=60 \text{ min}=3600 \text{ s})$ 为工作时间,此时皮肤外侧的温度不能超过 $u_{\max}(=47^\circ\text{C})$ ,即

$$u(T, l_4) \leq u_{\max}.$$

记 $t^*$ 为允许超过 $u^*(=44^\circ\text{C})$ 的最长时间( $t^*=5 \text{ min}=300 \text{ s}$ ),则

$$u(T-t^*, l_4) \leq u^*.$$

第II层的厚度为 $l_2 - l_1$ ,由于 $l_1$ 是固定的,因此第II层厚度最小就是 $l_2$ 最小.由此,第II层厚度的最优设计模型可以归结为

$$\min l_2 \quad (32)$$

$$\text{s. t. } u(T, l_4) \leq u_{\max}, \quad (33)$$

$$u(T-t^*, l_4) \leq u^*, \quad (34)$$

$$d_{2\min} \leq l_2 - l_1 \leq d_{2\max}, \quad (35)$$

其中: $u(t, x)$ 是热量传递模型(1)–(6)的解; $d_{2\min}(=0.6 \text{ mm})$ 为第II层的最小允许厚度; $d_{2\max}(=25 \text{ mm})$ 为

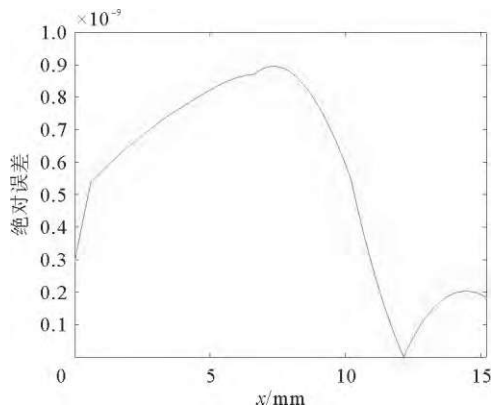


图4 稳态模型与非稳态模型的计算误差图